

## К ВОПРОСУ НАРАБОТКИ $^{99m}\text{Tc}$ НА НЕЙТРОННОМ ГЕНЕРАТОРЕ

А.Н. Довбня<sup>1)</sup>, Э.Л. Купленников<sup>1)</sup>, В.А.Цымбал<sup>1)</sup>,  
В.В.Красильников<sup>2)</sup>

<sup>1)</sup>ННЦ ХФТИ, Харьков, 61108, Украина, e-mail: kupl@kipt.kharkov.ua

<sup>2)</sup>Белгородский государственный университет, ул. Победы 85, Белгород, 308015, Россия

Рассмотрена возможность применения нейтронного генератора (НГ) с потоком тепловых нейтронов интенсивности  $10^{12} \text{n} \cdot \text{см}^{-2} \cdot \text{с}^{-1}$  для получения изотопа  $^{99m}\text{Tc}$  на основе ядерной реакции  $^{98}\text{Mo}(\text{n},\gamma)^{99}\text{Mo} \rightarrow ^{99m}\text{Tc}$ .

Ключевые слова: генератор нейтронов, тепловые нейтроны, поперечное сечение, молибден, технекий, ядерная медицина.

### 1. Введение

Среди изотопов, применяемых в ядерной медицине, большая роль отводится генераторным нуклидам. Генераторные нуклиды – это система двух связанных между собой радионуклидов (РН), один из которых – более короткоживущий (дочерний) – постоянно образуется в результате распада другого (материнского), имеющего существенно больший период полураспада ( $T_{1/2}$ ). Среди радиоизотопных генераторов наибольшее применение в ядерной медицине имеет генератор  $^{99}\text{Mo} \rightarrow ^{99m}\text{Tc}$ .

Одним из возможных путей получения  $^{99}\text{Mo}$  является ядерная реакция  $^{98}\text{Mo}(\text{n},\gamma)^{99}\text{Mo}$ . Образующийся при облучении изотоп  $^{99}\text{Mo}$  испускает  $\beta$ -частицы (100%) с максимальной энергией 1210 кэВ и основные  $\gamma$ -кванты с энергией 181.1 и 739.4 кэВ (интенсивность  $\gamma$ -линий  $I_\gamma = 6.08\%, 12.1\%$  соответственно). В результате  $\beta$ -распада  $^{99}\text{Mo}$  ( $T_{1/2} = 65.9$  ч.) превращается в  $^{99m}\text{Tc}$  ( $T_{1/2} = 6.02$  ч.), который испускает фотоны, основная энергия которого равна 140.5 кэВ ( $I_\gamma = 87.7\%$ ).

Настоящая работа посвящена количественной оценке наработки  $^{99m}\text{Tc}$  на создаваемом в ННЦ ХФТИ малогабаритном НГ с интенсивностью потока тепловых нейтронов  $10^{12} \text{n} \cdot \text{см}^{-2} \cdot \text{с}^{-1}$ .

## 2. Наработка $^{99}\text{Mo}$ $\text{B}(\text{n},\gamma)$ реакции

Одним из важных параметров, характеризующих прохождение нейтронов через реальные образцы, является макроскопическое сечение [1]  $\Sigma = \rho \cdot \sigma_{eff} \text{см}^{-1}$ , где  $\rho$  – плотность ядер элемента,  $\sigma_{eff}$  – эффективное сечение взаимодействия. Величина  $\Sigma$  аналогична линейному коэффициенту ослабления  $\gamma$ -квантов и может быть использована для оценки ослабления потока нейтронов при взаимодействии с ядерной средой образца.

Интенсивность потока нейтронов, прошедших слой вещества  $x$  без учета вклада многократного рассеяния, равна

$$I(x) = I_0 e^{-\Sigma_t x}, \quad (1)$$

где  $I_0$  – интенсивность первоначального пучка нейтронов,  $\Sigma_t$  – полное макроскопическое сечение, характеризующее всю совокупность процессов взаимодействия нейтронов с веществом.

Толщина мишени, полученная согласно (1), оказалась равной  $x = 0.216$  см. Расчет выполнен со следующими параметрами: плотность молибдена естественного изотопного состава ( $^{Nat}\text{Mo}$ )  $10.2 \text{ г}/\text{см}^3$ ; полное сечение взаимодействия  $\sigma_t = 7.22$  барна, что соответствует среднему значению энергии тепловых нейтронов  $0.038 \text{ эВ}$  при температуре  $T=300^\circ\text{K}$ ;  $\Sigma_t = 0.462 \text{ см}^{-1}$ ; уменьшение потока нейтронов на задней стенке образца 10%.

Количество ядер  $^{98}\text{Mo}$ , содержащихся в мишени, рассчитано согласно выражению

$$N = \beta m \frac{6.02 \cdot 10^{23}}{A}, \quad (2)$$

где  $\beta = 24.13\%$  – содержание изотопа  $^{98}\text{Mo}$  в натуральном молибдене;  $m = 43.25 \text{ г}$  – вес мишени (диаметр образца 5 см выбран исходя из среднего размера пробы, которая обычно используется в активационном анализе на тепловых нейтронах);  $A = 98$  – массовое число. В данном случае  $N$  равно  $6.41 \cdot 10^{22}$  ядер.

Для вычисления активности  $A_M$  изотопа  $^{99}\text{Mo}$ , накопившегося в пробе за время облучения  $t_{irr}$ , использовалась формула [2]

$$A_M = \sigma I_0 N (1 - e^{-\lambda_M t_{irr}}), \quad (3)$$

где  $I_0 = 0.95 \cdot 10^{12} \text{n}/\text{см}^2\text{с}^{-1}$  – средняя величина потока нейтронов в облучаемой пробе;  $\lambda_M = 0.693/T_{1/2} = 2.92 \cdot 10^{-6} \text{с}^{-1}$  – постоянная радиоактивного распада  $^{99}\text{Mo}$ ;  $\sigma = 0.13$  барн – сечение реакции на тепловых нейтронах. В [2]

подчеркивается, что поскольку сечение реакции зависит от энергии, в формулу (3) нужно подставлять среднее значение сечения реакции в изучаемом энергетическом интервале.

Оценки проведены для двух времен облучения  $t_{irr}^{(24)} = 24$  и  $t_{irr}^{(66)} = 66$  часов. При указанных выше параметрах облучения активность наработанного  $^{99}\text{Mo}$  равна  $A_M^{(24)} = 17.6 \cdot 10^8$  Бк и  $A_M^{(66)} = 0.4 \cdot 10^{10}$  Бк, а удельная активность  $4.07 \cdot 10^7$  Бк/г и  $9.2 \cdot 10^7$  Бк/г соответственно.

В работе [3] отмечено, что в случае облучения образца эптермальными нейтронами реактора с энергией более 0.4 эВ сечение увеличивается до 11.6 барн. Вследствие этого выбор места облучения в активной зоне реактора может существенно повысить активацию  $^{98}\text{Mo}$ . В большинстве случаев эффективное сечение составляет около 0.5 барн. В некоторых реакторах удается реализовать эффективное сечение, равное 0.8 барн. По-видимому, облучение образцов нейтронами энергией более 0.4 эВ можно технически осуществить и на НГ.

Интересно сравнить этот результат с данными других авторов, например, [3,4]. В работе [3] показано, что при облучении молибдена в потоке реакторных нейтронов  $10^{15} \text{ н} \cdot \text{см}^{-2} \cdot \text{s}^{-1}$  в течение 5 суток удельная активность  $^{99}\text{Mo}$  может достигать 14.5 Ки/г для природного Mo. Проведенные нами расчеты удельной активности данных [3] по вышеописанной методике с эффективным сечением 0.5 барн [3] дали практически ту же величину. Полученный результат указывает на то, что методика оценки выхода  $^{99}\text{Mo}$  достаточно корректна и может быть использована для прогнозирования выхода других РН.

В [4] представлены результаты вычислений активности  $^{99}\text{Mo}$  в  $^{100}\text{Mo}(\text{n}\gamma)^{99}\text{Mo}$  реакции. По оценкам авторов: "приемлемая толщина образцов из  $^{Nat}\text{Mo}$  может составлять до  $15 \text{ г}/\text{см}^2$  ( $\leq 1.47 \text{ см}$ ), а мощность электронного пучка до 20 кВт. В этом случае наработка  $^{99}\text{Mo}$  на мишени толщиной  $15 \text{ г}/\text{см}^2$ , за время 66 часов будет составлять 0.8 Ки". Наши оценки активности  $^{99}\text{Mo}$  в реакции  $^{98}\text{Mo}(\text{n}\gamma)^{99}\text{Mo}$  при той же экспозиции  $\sim 0.1$  Ки.

### 3. Выход $^{99m}\text{Tc}$ . Обсуждение результатов

Максимальная активность дочернего изотопа, равная активности материнского РН может быть достигнута по истечении времени  $t_{max}$  [5]

$$t_{max} = \frac{1}{\lambda_D - \lambda_M} \ln \left( \frac{\lambda_D}{\lambda_M} \right). \quad (4)$$

Подставляя в (4) соответствующие параметры:  $\lambda_D = 3.19 \cdot 10^{-5} \text{ с}^{-1}$ ,  $\lambda_M = 2.92 \cdot 10^{-6} \text{ с}^{-1}$ , получаем  $t_{max} = 22.9$  ч. Подчеркнем, что извлечение  $^{99m}\text{Tc}$  из

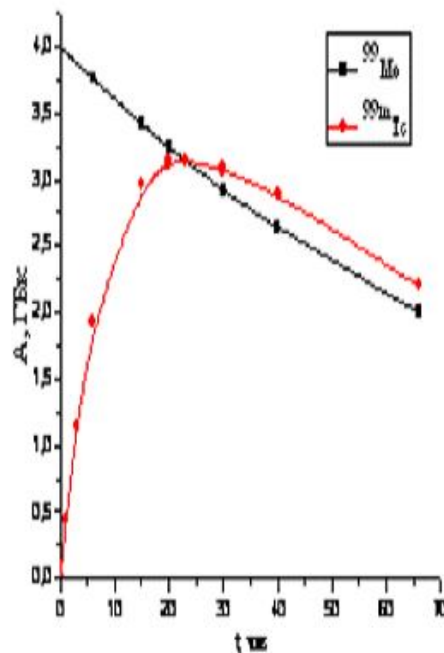


Рис. 1: Зависимость активности.

генератора технечия можно проводить несколько раз в день, не дожидаясь максимального накопления РН, поскольку уже через 6 часов достигается 50% от максимальной активности.

Для любого момента времени  $t$  активность дочернего изотопа может быть выражена через активность материнского РН (на тот же момент времени) [5]

$$A_D = A_M \frac{\lambda_D}{\lambda_D - \lambda_M} (1 - e^{[-(\lambda_D - \lambda_M)t]}), \quad (5)$$

где  $A_D$  – активность дочернего вещества в смеси с материнским изотопом или в генераторе в момент времени  $t$ , где  $t$  – время, прошедшее с начала отсчета до настоящего момента;  $A_M$  – начальная активность материнского нуклида в момент зарядки генератора или в момент начала отсчета времени.

Отметим, что при условии  $\lambda_D \gg \lambda_M$  выражение (5) несколько упрощается [6]

$$A_D = A_M (1 - e^{-\lambda_D t}). \quad (6)$$

В данном случае  $\lambda_D / \lambda_M \sim 10.9$ , т.е. условие  $\lambda_D \gg \lambda_M$  выполняется не в полной мере, что в итоге отражается на конечном результате дочерней активно-

сти. В связи со сказанным для оценки величины  $A_D$  использована формула (5).

Распад материнского вещества и нарастание дочерней активности в первоначально чистой материнской фракции в зависимости от времени приведены на рис.1. Увеличение активности дочернего изотопа с течением времени при начальной активности его равной нулю рассчитывалось по формуле [5]

$$A_D = A_M \frac{\lambda_D}{\lambda_D - \lambda_M} [e^{-\lambda_M t} - e^{-\lambda_D t}]. \quad (7)$$

Подставляя в (5) следующие параметры:  $t = 24$  часа,  $A_M^{(24)} = 17.6 \cdot 10^8$  и  $t = 66$  часов,  $A_M^{(66)} \sim 0.4 \cdot 10^{10}$  Бк – и учитывая, что только 82.4%  $^{99}\text{Mo}$  трансформируется в  $^{99m}\text{Tc}$  [5], а интенсивность –  $\gamma$  линии  $^{99m}\text{Tc}$ , которая соответствует излучению фотона энергией 140.5 кэВ – 87.7%, получаем  $A_D^{(24)} = 12.84 \cdot 10^8$  и  $A_D^{(66)} = 31.80 \cdot 10^8$  Бк соответственно.

Ясно, что в реальных условиях получения  $^{99m}\text{Tc}$  его активность будет несколько меньше, чем в нашем идеальном случае, поскольку эффективность выделения радиоизотопа в генераторе технекия меньше единицы.

Для одноразовой диагностики систем жизнедеятельности человека требуется определенная активность радиоизотопа  $^{99m}\text{Tc}$  [7]. Например, для исследования сердечно-сосудистой системы нужна активность  $\sim 55$  МБк, для диагностики центральной нервной системы  $\sim 240$  МБк, для сканограммы опухоли головного мозга  $\sim 370$  МБк и т. д. (Кстати, по оценкам экспертов МАГАТЭ, средняя диагностическая доза 10 мКи). Таким образом, наработанная за 24 и 66 часов активность  $^{99m}\text{Tc}$  достаточна при обследовании сердечно-сосудистой системы (сканограммы опухоли головного мозга) для  $A_D^{(24)}$  в среднем у 23 и 4 пациентов и для  $A_D^{(66)}$  у 58 и 9 больных соответственно.

Увеличить выход  $^{99}\text{Mo}$ , генерирующего  $^{99m}\text{Tc}$ , можно: 1) максимум в 4.1 раза при использовании обогащенной мишени, содержащей только изотоп  $^{98}\text{Mo}$ ; 2) почти в 2 раза при возрастании толщины мишени до 4.8 мм, что соответствует 20% уменьшению потока нейтронов на задней стенке образца; 3) путем увеличения экспозиции  $t_{irr} \geq T_{1/2}$ ; 4) в случае одновременного облучения более одной мишени, что предусмотрено конструкцией НГ.

### 3. Выводы

Рассмотрена возможность применения малогабаритного нейтронного генератора, обладающего интенсивностью потока тепловых нейтронов  $10^{12}$  н.

$\text{см}^{-2}\text{s}^{-1}$  для получения  $^{99m}\text{Tc}$  на основе ядерной реакции  $^{98}\text{Mo}(n\gamma)^{99}\text{Mo}$ . Показано, что НГ может, в принципе, производить радиоизотоп  $^{99m}\text{Tc}$  с активностью, достаточной для применения в ядерной медицине.

Работа поддержана грантом УНТЦ № Р333.

### Литература

1. Блан Д. Ядра, частицы, ядерные реакторы / Д.Блан – М.: Мир,1989. – 335 с.
2. Немец О.Ф. Справочник по ядерной физике / О.Ф.Немец, Ю.В.Гофман Ю.В. – Киев: Наукова Думка,1975. – 415 с.
3. Веревкин А.А., Стервоедов Н.Г., Ковтун Г.П. // Вестник ХНУ. Серия: Ядра, частицы, поля. – 2006. - 745; 4(32). – С.54-64.
4. Довбня А.Н., Пугачев Г.Д., Пугачев Д.Г. и др., Получение мощных фотонных пучков для наработки медицинских радионуклидов // ВАНТ. Серия: яд.-физ. исследования. – 1997. – 4,5(31,32). – С.154-156.
5. Соколов В.А., Генераторы короткоживущих радиоактивных изотопов / В.А.Соколов. – М.: Атомиздат,1975. – 113 с.
6. Баранов В.Ю., Изотопы II / В.Ю. Баранов. – М.:Физматлит, 2005. – 727 с.
7. П.А. Демченко П.А., Воронко В.А., Мигаленя В.Я. и др. // ВАНТ. Серия: яд.-физ.исследования. – 1997. – 4,5(31,32). – С.168-170.

### TO THE PROBLEM OF $^{99m}\text{Tc}$ YIELD IN REACTION $^{98}\text{Mo}(n\gamma)^{99}\text{Mo} \rightarrow ^{99m}\text{Tc}$

A.N. Dovbnya<sup>1)</sup>, E.L. Kuplennikov<sup>1)</sup>, V.A. Tsymbal<sup>1)</sup>, V.V.  
Krasil'nikov<sup>2)</sup>

<sup>1)</sup>National Science Center "Kharkov Institute of Physics and Technology",  
Akademicheskaya st., Kharkov, 61108, Ukraine, e-mail: [kupl@kipt.kharkov.ua](mailto:kupl@kipt.kharkov.ua)

<sup>2)</sup>Belgorod State University, Belgorod, Russia

Possibility of the neutron generator with intensity flow of thermal neutrons  $10^{12}\text{n}\cdot\text{cm}^{-2}\cdot\text{s}^{-1}$  application for  $^{99m}\text{Tc}$  production on the base of  $^{98}\text{Mo}(n\gamma)^{99}\text{Mo} \rightarrow ^{99m}\text{Tc}$  nuclear reaction is considered.

Key words: neutron generator, thermal neutrons, cross-section, molybdenum, technetium, nuclear medicine.